

УДК 531.383

С. А. БЕЛИКОВ

УСТОЙЧИВОСТЬ РАВНОВЕСИЯ ТВЕРДОГО ТЕЛА  
С ГИРОСКОПОМ,  
ВРАЩАЮЩИМСЯ ВОКРУГ ГОРИЗОНТАЛЬНОЙ ОСИ,  
НА АБСОЛЮТНО ГЛАДКОЙ ПЛОСКОСТИ

Рассматривается движение гиростата на абсолютно гладкой горизонтальной плоскости. Уравнения движения гиростата допускают частное решение, отвечающее равновесию корпуса и равномерному вращению гироскопа вокруг горизонтальной главной оси. Необходимые и достаточные условия устойчивости этого частного решения получены в [1], причем достаточные условия найдены методом построения функции Ляпунова в виде связки первых интегралов уравнений возмущенного движения [2]. В [1] отмечено также, что достаточные условия, полученные этим методом, совпадают с необходимыми. В настоящей работе исследуется вопрос об устойчивости указанного частного решения на границе области необходимых условий устойчивости.

Получена функция Гамильтона, задающая канонические уравнения движения гиростата. Осуществлен переход к приведенной гамильтоновой системе с двумя степенями свободы и получено разложение гамильтониана в окрестности положения равновесия, соответствующего указанному частному решению, с точностью до членов четвертого порядка. В области допустимых значений параметров построена область необходимых условий устойчивости, совпадающая с областью знакопредeterminedности функции Гамильтона. В случаях, когда набор параметров принадлежит границе области необходимых условий устойчивости, произведена нормализация гамильтониана и получены с использованием результатов [3; 4] достаточные условия устойчивости в терминах ограничений на коэффициенты нормальной формы.

1. Рассмотрим движение тяжелого твердого тела в однородном поле сил тяжести на абсолютно гладкой горизонтальной плоскости. Пусть тело представляет собой гиростат, т. е. имеет полость, в которой расположен симметричный гироскоп с осью вращения, жестко связанной с телом (корпусом). Вращение гироскопа происходит без трения с постоянной относительно корпуса произвольной угловой скоростью  $\omega^0$ . Предположим, что поверхность, ограничивающая тело, выпукла, так что она соприкасается с горизонтальной плоскостью лишь одной своей точкой, в которой поверхность имеет единственную касательную плоскость. Введем неподвижную правую прямоугольную систему координат  $OXYZ$  с началом в точке  $O$  опорной горизонтальной плоскости  $Z=0$  и жестко связанную с корпусом правую прямоугольную систему координат  $S\xi'\eta'\zeta'$ , оси которой направлены вдоль главных центральных осей инерции гиростата. Пусть ось вращения гироскопа совпадает с  $S\xi'$ . Положение корпуса будем задавать координатами  $X_s, Y_s$  точки  $S$  и углами Эйлера  $\theta, \phi, \psi$ , ориентирующими систему  $S\xi'\eta'\zeta'$  по отношению к  $OXYZ$ . Рассмотрим также правую прямоугольную систему координат  $SX'Y'Z'$ , ось  $SZ'$  которой направлена вертикально вверх,  $SY'$  — по линии узлов в сторону, откуда поворот оси  $SZ'$  на угол  $\theta$  до совмещения с осью  $S\xi'$  происходит против часовой стрелки.

Функция Гамильтона, задающая канонические уравнения движения гиростата, имеет вид

$$H = \frac{1}{2} [\Phi(p_\theta - \alpha)^2 - 2\Psi(p_\theta - \alpha)(p_\phi - \beta) + \Theta(p_\phi - \beta)^2]/\Delta - \gamma + \frac{1}{2}(p^2 + q^2)/M \quad (1.1)$$

$$\Delta = \Theta\Phi - \Psi^2, \quad \Theta = I_{22} - I_{13}^2 I_{33}^{-1} + M\chi^2$$

$$\Phi = (I_{11} - I_{13}^2 I_{33}^{-1} + M\chi_2^2) \sin^2 \theta, \quad \Psi = (I_{12} - I_{13} I_{23} I_{33}^{-1} + M\chi_2) \sin \theta$$

$$\alpha = \Lambda I_{23} I_{33}^{-1} + D\omega^0 \cos \varphi, \beta = \Lambda (I_{33} \cos \theta + I_{13} \sin \theta) I_{33}^{-1}$$

$$\gamma = -I_2 \Lambda I_{33}^{-1} + Mg(\chi_1 \sin \theta + \zeta' \cos \theta)$$

$$\Lambda = p_\psi - D\omega^0 \sin \theta \sin \varphi, \kappa = \chi_1 \cos \theta - \zeta' \sin \theta$$

$$\chi_1 = \xi' \sin \varphi + \eta' \cos \varphi, \chi_2 = \xi' \cos \varphi - \eta' \sin \varphi$$

Здесь  $p, q, p_\theta, p_\phi, p_\psi$  — обобщенные импульсы, соответствующие координатам  $X_s, Y_s, \theta, \varphi, \psi$ ,  $M$  — масса гиростата,  $g$  — ускорение силы тяжести,  $\xi', \eta', \zeta'$  — координаты точки касания тела с плоскостью в системе  $S\xi'\eta'\zeta'$ , являющиеся функциями  $\theta$  и  $\varphi$ , определяемые по виду уравнения поверхности корпуса, причем  $(\xi' \sin \varphi + \eta' \cos \varphi) \sin \theta + \zeta' \cos \theta = 0$ , где точка означает дифференцирование по  $\theta$  или  $\varphi$ ,  $D$  — осевой момент инерции гироскопа,  $I_{ij}$  ( $i, j = 1, 2, 3$ ) — компоненты тензора инерции гиростата по отношению к системе  $SX'Y'Z'$ , являющиеся линейными формами главных центральных моментов инерции гиростата  $A, B, C$  с коэффициентами — тригонометрическими функциями  $\theta$  и  $\varphi$ . Выражение  $I_{ij}$  приведено в [5]. Координаты  $X_s, Y_s, \psi$  — циклические, поэтому приведенная система имеет две степени свободы.

2. Канонические уравнения движения гиростата с функцией Гамильтона (4.1) допускают частное решение

$$p = p_0, q = q_0, p_\theta = D\omega^0, p_\psi = p_\psi = 0 \quad (2.1)$$

$$X_s = M^{-1} p_0 t + X_s^0, Y_s = M^{-1} q_0 t + Y_s^0$$

$$\theta = \pi/2, \varphi = 0, \psi = \psi_0$$

отвечающее равновесию корпуса. При этом ось  $S\eta'$  расположена вертикально, следовательно, ось  $S\xi'$ , вокруг которой равномерно вращается гироскоп, расположена горизонтально. Центр масс  $S$  гиростата движется с постоянной скоростью вдоль горизонтальной прямой. Не ограничивая общности, считаем его неподвижным.

*Замечание.* В [1] указано, что равномерное вращение корпуса вокруг вертикальной оси исключено. т. е. корпус находится в равновесии, если на стационарном движении ось вращения гироскопа не совпадает с вертикалью.

Исследуем устойчивость стационарного движения (2.1) гиростата относительно  $p_\theta, p_\psi, \theta, \varphi$ . Анализ устойчивости связан с рассмотрением функции Гамильтона в окрестности движения (2.1).

Пусть  $h$  — расстояние от центра масс  $S$  до точки контакта  $T$  гиростата и плоскости на невозмущенном движении (2.1),  $v' = h + \eta'$ . Полагаем  $p_\theta = D\omega^0 + x_1'$ ,  $p_\psi = x_2'$ ,  $\theta = \pi/2 + y_1'$ ,  $\varphi = y_2'$  и находим разложение функции Гамильтона приведенной системы в окрестности положения равновесия, соответствующего стационарному движению (2.1), с точностью до членов четвертого порядка относительно возмущения  $x_1', x_2', y_1', y_2', \xi', v', \zeta'$ . Вводим новые безразмерные переменные  $x_1, x_2, y_1, y_2$ , время  $t$ , безразмерные координаты  $\xi, v, \zeta$ , угловую скорость  $\omega$  и параметры  $a, b, n$  по формулам

$$x_i' = (BMgh)^{1/2} x_i, y_i' = y_i \quad (i=1, 2), \tau = (Mgh/B)^{1/2} t$$

$$\xi = \xi'/h, v = v'/h = 1 + \eta'/h = 1 + \eta, \zeta = \zeta'/h$$

$$\omega = D\omega^0 (BMgh)^{-1/2}, a = B/A, b = B/C, n = Mh^2/A$$

Получаем

$$\begin{aligned} 2H = & ax_1^2 + bx_2^2 - y_1^2 - (1 - \omega^2)y_2^2 + (2 - a)\omega x_1 y_2^2 - \\ & - 2\omega x_2 y_1 y_2 - a x_1^2 y_1^2 + (1 - a)x_1^2 y_2^2 + \\ & + 2(a - 1 - bn)x_1 x_2 y_1 y_2 + x_2^2 y_1^2 - (b^2/a)n x_2^2 y_2^2 + \\ & + y_1^4/12 + y_1^2 y_2^2/2 + [1/12 + (a/4 - 1/3)\omega^2]y_2^4 + \\ & + a n x_1^2 \zeta (2y_1 - \zeta) - 2bn x_1 x_2 (y_1 \xi - y_2 \zeta - \xi \zeta) - \\ & - (b^2/a)n x_2^2 \xi (2y_2 + \xi) - [(2y_2 - y_1^2 y_2 - \\ & - y_2^3/3)\xi + (2 - y_1^2 - y_2^2)v + (-2y_1 + y_1^3/3)\zeta] + \dots \end{aligned} \quad (2.2)$$

3. В дальнейшем будем считать, что в малой окрестности точки контакта  $T$  поверхность корпуса близка к эллипсоиду, одна из осей которого лежит на оси  $S\eta'$ . Тогда [5]:

$$\begin{aligned}\xi &= l_1 y_1 - l_2 y_2 + \frac{1}{2}[-l(l_1 - \frac{2}{3})y_1^3 + (l_1 l_2 + 2l^2)y_1^2 y_2 - l(3l_2 - 1)y_1 y_2^2 + l_2(l_2 - \frac{2}{3})y_2^3] + \dots \\ \eta &= -1 + \frac{1}{2}(l_1 y_1^2 - 2l y_1 y_2 + l_2 y_2^2) + \frac{1}{8}[-l_1(3l_1 - \frac{8}{3})y_1^4 + l(12l_1 - \frac{8}{3})y_1^3 y_2 - [6(l_1 l_2 + 2l^2) - 4l_1]y_1^2 y_2^2 + l(12l_2 - \frac{20}{3})y_1 y_2^3 - l_2(3l_2 - \frac{8}{3})y_2^4] + \dots \\ \zeta &= l_1 y_1 - l_2 y_2 + \frac{1}{2}[-l_1(l_1 - \frac{2}{3})y_1^3 + 3l_1 y_1^2 y_2 - (l_1 l_2 + 2l^2 - l_1)y_1 y_2^2 + l(l_2 - \frac{2}{3})y_2^3] + \dots \\ l_1 &= (r_1 \sin^2 \varepsilon + r_2 \cos^2 \varepsilon)/h, \quad l_2 = (r_1 \cos^2 \varepsilon + r_2 \sin^2 \varepsilon)/h \\ l &= (r_2 - r_1) \sin \varepsilon \cos \varepsilon / h\end{aligned}\tag{3.1}$$

где  $r_1, r_2$  — главные радиусы кривизны поверхности корпуса в точке  $T$ ,  $\varepsilon$  — угол между осью  $S\zeta'$  и направлением главной кривизны, соответствующей  $r_2$ , который отсчитывается от оси  $S\zeta'$  против часовой стрелки, если смотреть навстречу оси  $S\eta'$ , направленной вертикально вверх на невозмущенном движении (2.1).

Подставим (3.1) в (2.2). Получаем разложение функции Гамильтона приведенной системы в виде суммы однородных форм относительно  $x_1, x_2, y_1, y_2$ :

$$H = H_2 + H_3 + H_4 + \dots\tag{3.2}$$

$$H_k = \sum_{|\nu|=k} h_{v_1 v_2 v_3 v_4} x_1^{v_1} x_2^{v_2} y_1^{v_3} y_2^{v_4} \quad (k=2, 3, 4)$$

где  $v_1, v_2, v_3, v_4$  — целые неотрицательные числа,  $|\nu| = \sum_{i=1}^4 v_i$ . Отличные от нуля коэффициенты форм  $H_2$  и  $H_3$  имеют вид

$$\begin{aligned}h_{2000} &= a/2, \quad h_{0200} = b/2, \quad h_{0020} = (l_1 - 1)/2, \quad h_{0011} = -l \\ h_{0002} &= (\omega^2 + l_2 - 1)/2, \quad h_{1002} = (1 - a/2)\omega, \quad h_{0111} = -\omega\end{aligned}\tag{3.3}$$

Из коэффициентов формы  $H_4$  выпишем лишь необходимые в дальнейшем для исследования устойчивости

$$\begin{aligned}h_{0040} &= (-3l_1^2 + 2l_1 + 1)/24, \quad h_{0031} = l(3l_1 + 1)/6 \\ h_{0022} &= (-l_1 l_2 - 2l^2 + l_1 - l_2 + 1)/4, \quad h_{0013} = l(3l_2 - 2)/6 \\ h_{0004} &= [-3l_2^2 + 2l_2 + 1 + (3a - 4)\omega^2]/24\end{aligned}\tag{3.4}$$

4. Рассмотрим область допустимых значений параметров  $F = \{c = (\omega, a, b, l, l_1, l_2) : a < b(a+1), b < a(b+1), a > b(a-1), l_1 > 0, l_2 > 0\}$ . Анализ характеристического уравнения показывает, что область необходимых условий устойчивости имеет вид

$$\begin{aligned}G &= \{c : c \in F, Q_1 > 0, Q_2 > 0, Q_1^2 - 4Q_2 > 0\} \\ Q_1 &= b\omega^2 + a(l_1 - 1) + b(l_2 - 1) \\ Q_2 &= ab(\omega^2(l_1 - 1) + (l_1 - 1)(l_2 - 1) - l^2)\end{aligned}\tag{4.1}$$

Квадратичная форма  $H_2$  является знакопределенной в области  $G_0 = \{c : c \in F, l_1 > 1, Q_2 > 0\}$ . Анализируя функции (4.1), получаем, что неравенства  $Q_1 > 0$  и  $Q_2 > 0$  совместны лишь при  $l_1 > 1$ . Тогда неравенства  $Q_1 > 0$  и  $Q_1^2 - 4Q_2 > 0$  являются следствием  $Q_2 > 0$ , поэтому  $G = G_0$ .

Согласно теореме Рауса с дополнением Ляпунова (см. [6]) стационарное движение (2.1) устойчиво при параметрических возмущениях [7]

конструктивных параметров  $\mathbb{C}^G$  гиростата. Таким образом, остается открытый вопрос об устойчивости решения (2.1) лишь на границе  $\partial G$  области  $G$ , определяемой равенством  $Q_2=0$ .

Отметим, что полученные ранее [1] необходимые условия типа  $\mathbb{C}^G$  и достаточные условия типа  $\mathbb{C}^G_0$  устойчивости решения (2.1) имеют несколько иную форму. Указанный в [1] факт о совпадении достаточных условий устойчивости решения (2.1), полученных методом Четаева [2], с необходимыми в приведенной здесь терминологии означает, что  $G=G_0$ .

*Замечание.* 1°. Из приведенных рассуждений следует, что форма второго порядка  $H_2$  в разложении (3.2) полностью решает вопрос об устойчивости движения (2.1) при  $\mathbb{C}^G$ . Для решения вопроса об устойчивости в случае  $\mathbb{C}^{\partial G}$  ( $Q_2=0$ ) необходимо привлекать формы более высокого порядка в разложении (3.2).

2°. Равенство  $Q_2=0$  не накладывает ограничений на параметры  $a$  и  $b$ .  $Q_2=0$  дает

$$\omega^2 = 1 - l_2 + l^2 / (l_1 - 1) \quad (4.2)$$

3°. При выполнении неравенства  $l^2 < (l_1 - 1)(l_2 - 1)$  область  $G$  не может иметь границы, отличной от границы области  $F$ , т. е. всегда выполнено  $Q_2 > 0$ . Поэтому в дальнейшем считаем, что параметры связаны соотношением  $l^2 \geq (l_1 - 1)(l_2 - 1)$ .

4°. Условие  $l_1 > 1$  имеет очевидный механический смысл (см. [1]).

5°. Если  $Q_2=0$ , система с гамильтонианом  $H_2$  имеет одну нулевую частоту. Вторая частота при этом вычисляется по формуле  $\alpha = Q_1^{1/2}$ . Определяющая матрица системы имеет непростые элементарные делители.

5. В дальнейшем считаем, что  $\mathbb{C}^{\partial G}$ , т. е. выполнено соотношение (4.2). Приведем функцию Гамильтона (3.2)–(3.4) к нормальной форме. Для проведения линейной нормализации сделаем замену

$$\begin{vmatrix} x_1 \\ x_2 \\ y_1 \\ y_2 \end{vmatrix} = \begin{vmatrix} s_1 & c_1 & t_1 & d_1 \\ s_2 & c_2 & t_2 & d_2 \\ s_3 & c_3 & t_3 & d_3 \\ s_4 & c_4 & t_4 & d_4 \end{vmatrix} \begin{vmatrix} p_1 \\ p_2 \\ q_1 \\ q_2 \end{vmatrix} \quad (5.1)$$

Выпишем элементы матрицы линейного симплектического преобразования (5.1), нужные для исследования устойчивости, воспользовавшись соотношениями (4.2) и  $\alpha = Q_1^{1/2}$ :

$$\begin{aligned} s_1 &= Q_1^{1/2} a(l_1 - 1) g_1, \quad s_2 = -Q_1^{1/2} a l g_1 \\ t_1 &= Q_1 l g_1, \quad t_2 = -Q_1 l^2 (l_1 - 1)^{-1} g_1, \quad c_1 = 0 \\ c_2 &= 0, \quad c_3 = -a b l^2 (l_1 - 1)^{-1} g_2, \quad c_4 = -a b l g_2 \\ d_1 &= b l^2 (l_1 - 1)^{-1} g_2, \quad d_2 = a l g_2, \quad O_1^{1/2} g_1^2 = \\ &= [b^2 l^6 (l_1 - 1)^{-3} + 2 a b l^4 (l_1 - 1)^{-1} + a^3 (l_1 - 1)^2 + \\ &\quad + a^2 l^2 (l_1 - 1) + a^2 b l^2]^{-1}, \quad a b l^2 g_2^2 = [b l^2 (l_1 - 1)^{-2} + a]^{-1}. \end{aligned} \quad (5.2)$$

В переменных  $p_1, p_2, q_1, q_2$  формы  $K_k$  ( $k=3, 4$ ) преобразованного гамильтониана (3.2) представим в виде

$$K_k = \sum_{|\nu|=k} g_{v_1 v_2 v_3 v_4} p_1^{v_1} p_2^{v_2} q_1^{v_3} q_2^{v_4}$$

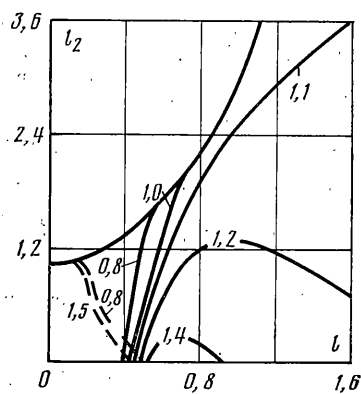
Выпишем коэффициенты форм  $K_3$  и  $K_4$ , нужные для исследования устойчивости.

$$g_{1200} = s_1 c_4^2 (1 - a/2) \omega - s_2 c_3 c_4 \omega \quad (5.3)$$

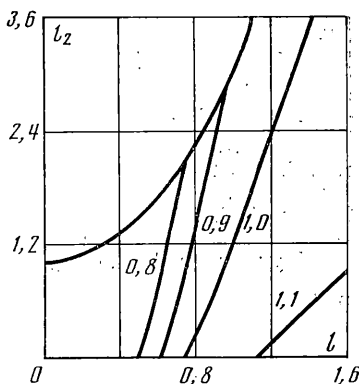
$$g_{0400} = c_3^4 h_{0040} + c_3^3 c_4 h_{0031} + (c_3 c_4)^2 h_{0022} + c_3 c_4^3 h_{0013} + c_4^4 h_{0004}$$

Коэффициент  $g_{0210}$  получается из  $g_{1200}$  заменой  $s_1, s_2$  на  $t_1, t_2$ ,  $g_{0201}$  – заменой  $s_1, s_2$  на  $d_1, d_2$ . Коэффициенты нормальной формы, нужные для исследования устойчивости, имеют вид [4]:

$$a_{30} = 0, \quad a_{40} = g_{0400}^{-1} / {}_2 g_{0201}^2 - {}_1/{}_2 Q_1^{-1/2} (g_{0210}^2 + g_{1200}^2) \quad (5.4)$$



Фиг. 1



Фиг. 2

Подстановка формул (5.3), (5.2), (3.4), (4.1), (4.2) в (5.4) дает окончательное выражение коэффициента  $a_{40}$  через независимые параметры:  $(a, b, l, l_1, l_2)$ .

Согласно результатам, полученным в [3, 4], стационарное движение гироскопа (2.1) устойчиво при фиксированных значениях параметров, если  $a_{40} > 0$ , и неустойчиво, если  $a_{40} < 0$ .

*Замечания.* 1°. Относительно устойчивости при фиксированных значениях параметров в случае нулевой частоты см. [8].

2°. Подстановка соотношения  $l^2 = (l_1 - 1)(l_2 - 1)$  в окончательное выражение коэффициента  $a_{40}$  показывает, что  $a_{40} = 0$ .

Для наглядной интерпретации полученных достаточных условий устойчивости и неустойчивости будем фиксировать часть параметров из набора  $a, b, l, l_1, l_2$  и использовать метод параллельных сечений области  $\partial G$ . Проверка условий  $a_{40} \geq 0$  осуществлялась численно. Расчеты производились при  $l_1 = 1,5, a = 0,75, 1,0, 1,5$ . При каждом из рассмотренных значений  $a$  параметр  $b$  изменялся с шагом 0,05 в соответствующем интервале (см. определение области  $F$ ). Результаты расчетов при  $a = 0,75$  представлены на фиг. 1, при  $a = 1,5$  — на фиг. 2. На фигурах изображена область допустимых значений параметров, ограниченная снизу прямой  $l_2 = 0$ , сверху — кривой  $l_2 = 1 + 2l^2$  (см. замечание 3° п. 4). Согласно замечанию 2° на этой кривой имеем  $a_{40} = 0$ . Изображены также кривые, задаваемые уравнением  $a_{40}(b_*, l, l_2) = 0$ , причем каждая из них помечена соответствующим значением  $b_*$ . Область неустойчивости  $\{a_{40} < 0\}$  расположена «слева-снизу», а область устойчивости  $\{a_{40} > 0\}$  — «справа-сверху» от кривых, изображенных штриховой линией (фиг. 1). Область устойчивости расположена «слева-сверху», а область неустойчивости — «справа-снизу» от кривых, изображенных сплошной линией (фиг. 1, 2). Кривые, изображенные штриховой линией, располагаются достаточно плотно и сдвигаются «влево-вниз» с ростом  $b$  или с ростом  $a$ . При  $a = 1,0$  они еще присутствуют в соответствующем сечении, но не пересекаются с границей  $l_2 = 1 + 2l^2$ , при  $a = 1,5$  — уже отсутствуют (см. фиг. 2). Кривые, изображенные сплошной линией, сдвигаются «вправо-вниз» с ростом  $b$  или с ростом  $a$ . При любой из рассмотренных величин  $a$  эти кривые исчезают, когда параметр  $b$  превышает некоторое значение. Так, их уже не обнаружено при  $a = 0,75, b = 1,5; a = 1,0, b = 1,2; a = 1,5, b = 1,45$ .

Все кривые построены при  $l > 0$ . Следует отметить, что имеет место симметрия относительно оси  $Ol_2$ .

Для исследования устойчивости на кривых, изображенных на фиг. 1, 2, необходимо в разложении функции Гамильтона (3.2) привлекать формы, порядок которых больше четырех.

#### СПИСОК ЛИТЕРАТУРЫ

1. Румянцев В. В. Об устойчивости вращения тяжелого гироскопа на горизонтальной плоскости // Изв. АН СССР. МТТ. 1980. № 4. С. 11–21.
2. Четаев Н. Г. Устойчивость движения. М.: Гостехиздат, 1955. 207 с.
3. Сокольский А. Г. Об устойчивости автономной гамильтоновой системы с двумя степенями свободы при резонансе первого порядка // ПММ. 1977. Т. 41, вып. 1. С. 24–33.
4. Чудненко А. Н. К устойчивости положения равновесия гамильтоновых систем

- с двумя степенями свободы при наличии двойного нулевого корня // Механика твердого тела. Киев: Наук. думка, 1978. Вып. 10. С. 54–60.
5. Беликов С. А. Устойчивость равномерных вращений гиростата вокруг вертикальной главной оси на абсолютно гладкой горизонтальной плоскости // ПММ. 1986. Т. 50, вып. 1. С. 73–82.
6. Румянцев В. В. Об устойчивости стационарных движений // ПММ. 1966. Т. 30, вып. 5. С. 922–933.
7. Кузьмин П. А. Устойчивость при параметрических возмущениях // ПММ. 1957. Т. 21, вып. 1. С. 129–132.
8. Савченко А. Я. Устойчивость стационарных движений механических систем. Киев: Наук. думка, 1977. 160 с.

Ленинград

Поступила в редакцию  
28.IV.1987